

پیش‌بینی و بررسی روند تغییرات بارندگی و اثرات آن بر خشکسالی هواشناسی در جنوب

حوضه رود ارس

فاطمه وطن‌پرست قلعه جوق^{*}، بروم‌مند‌صلاحی^۲

۱- دانشجوی دکتری آب و هواشناسی دانشگاه محقق اردبیلی، دانشکده علوم اجتماعی، گروه جغرافیای طبیعی، اردبیل، ایران.

۲- استاد آب و هواشناسی دانشگاه محقق اردبیلی، دانشکده علوم اجتماعی، گروه جغرافیای طبیعی، اردبیل، ایران
(Email: bromand416@yahoo.com)

تاریخ پذیرش: ۱۴۰۲/۱۰/۲۴

تاریخ دریافت: ۱۴۰۲/۱۰/۱۶

چکیده

خشکسالی پدیده‌ای بهنجار و قابل تکرار است که در اثر کاهش مقدار بارندگی در یک دوره زمانی مشخص به وجود می‌آید. در پژوهش حاضر به بررسی روند تغییرات بارش و پیش‌بینی خشکسالی هواشناسی ۶ ایستگاه واقع در حوضه آبریز ارس پرداخته شده است. جهت ارزیابی وضعیت شدت خشکسالی داده‌های بارش سالانه ایستگاه‌ها در دوره آماری ۱۹۸۷-۲۰۲۱) با استفاده از شاخص استاندارد بارندگی (SPI) بررسی شد و با استفاده از مدل‌های سری زمانی بارش ARIMA و ARMA شبیه سازی و بر اساس معیار اطلاعاتی (AIC) بهترین مدل برای پیش‌بینی انتخاب شد. برای ایستگاه‌های اردبیل، خوی و اهر مدل ARIMA (۱,۰,۰) و برای ایستگاه‌های پارس‌آباد، ماکو و جلفا مدل (۰,۰,۰) AR به عنوان مدل‌های دارای بهترین نتیجه انتخاب شدند. نتایج پیش‌بینی برای ۵ سال آینده نشان‌دهنده افزایش بارش است که بر اساس آمار بارندگی موجود در سال‌های مربوطه، نتایج مدل‌های برازش یافته را قابل قبول می‌کند. نتایج بررسی روند شاخص (SPI) نیز نشان داد هر ۶ ایستگاه در وضعیت نزدیک به نرمال قرار دارند و بیشترین شدت خشکسالی شدید مربوط به ایستگاه خوی با ۱۴ درصد است. ایستگاه ماکو نیز با ۶ درصد فراوانی شرایط مرتبط متوسط را در طول دوره موردمطالعه مشاهده کرده است. هم‌چنین نتایج تغییرات بارش با استفاده از آزمون شیب سن گویای روند افزایش معنی‌دار بارش در ایستگاه ماکو و افزایش بدون روند در ایستگاه‌های پارس‌آباد، خوی و جلفا و کاهش بدون روند در ایستگاه‌های اردبیل و اهر است.

کلید واژه: خشکسالی، حوضه رود ارس، تغییرات بارش، سری‌های زمانی.

مقدمه

خشکسالی پدیده‌ای طبیعی است که در اثر کاهش مقدار بارندگی در یک دوره زمانی معلوم به وجود می‌آید (شارما و اسماختین، ۲۰۰۴). خشکسالی به آهستگی شروع شده و رفته رفته تأثیر آن در منابع آب، کشاورزی، محیط‌زیست، اقتصاد و ... پدیدار می‌شود (میشرا و سینق، ۲۰۱۰). انتخاب شناسه‌های خشکسالی یا ترسالی در یک ناحیه، یکی از ضرورت‌های اصلی طرح‌ریزی محیطی، اقتصادی بهویژه طرح‌ریزی برای مدیریت منابع آب است. در بسیاری از برنامه‌ریزی‌های طولانی مدت لازم هست که دورنمایی از موقعیت آینده بارندگی و دوره‌های تر و خشک برای منطقه ترسیم شود (بایزیدی و همکاران، ۱۳۹۵). نمایه بارش استاندارد شده (SPI) یکی از شاخص‌های محاسبه دوره‌های خشکسالی است که در آن مقیاس زمانی مدل نظر قرار می‌گیرد (مک کی و همکاران، ۱۹۹۳). این شاخص یکی از پراستفاده‌ترین شاخص‌ها برای تحلیل شدت، مدت و فراوانی خشکسالی هواشناسی می‌باشد (هایز و همکاران، ۲۰۱۱). پایش دوره‌های خشک بر پایه این مدل توسط پژوهشگران در مناطق مختلف جهان صورت گرفته است.

مرسا و همکاران (۲۰۱۶) خشکسالی در آینده را با استفاده از شاخص SPI در لهستان بررسی کردند و نتیجه گرفتند که بر طبق این شاخص در آینده اقلیم مرتبط‌تری در لهستان روی خواهد داد. فیلیپ و همکاران (۲۰۱۷) اثر تغییر اقلیم بر خشکسالی را در حوضه ولتا غرب آفریقا بررسی کردند. نتایج نشان داد بزرگی خشکسالی با استفاده از شاخص SPEI بیشتر از شاخص SPI است. وانگ و همکاران (۲۰۱۹) شرایط خشکسالی شرق چین در آینده را با استفاده از شاخص SPI و SPEI بررسی کردند. لین و همکاران (۲۰۲۰) جهت ارزیابی وضعیت خشکسالی در حوضه رودخانه هوای از شاخص SPI استفاده کردند و این شاخص افزایش رطوبت را نشان داد.

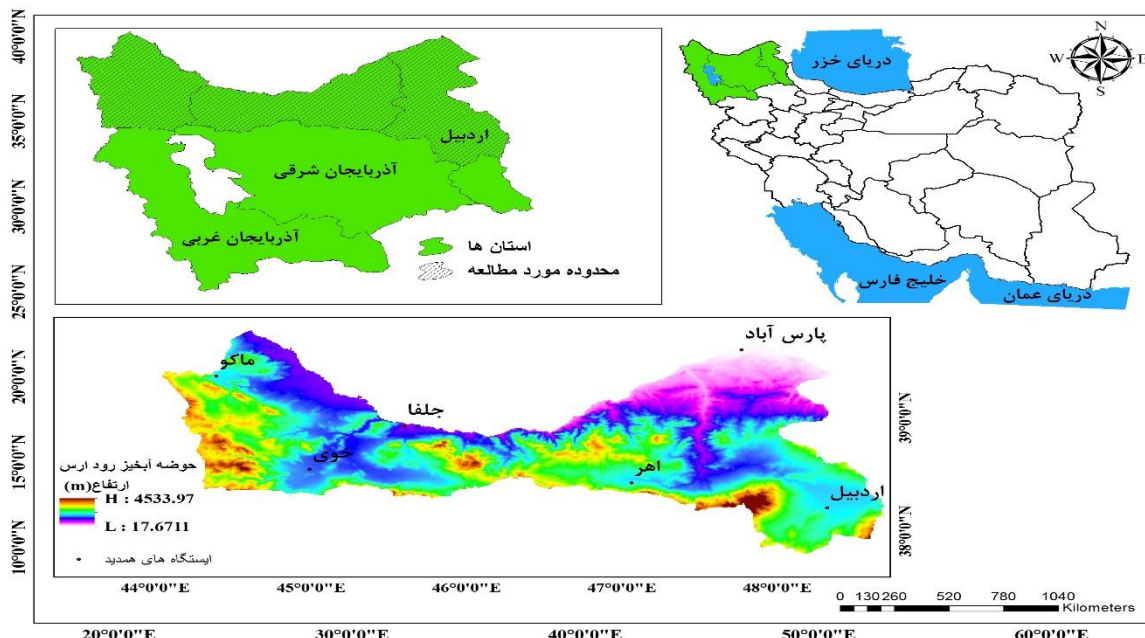
در مناطق مختلف آب و هوایی ایران نیز تحقیقاتی در زمینه تعیین دوره خشک و توزیع مکانی آن‌ها توسط (شمش نیا و همکاران، ۱۳۸۸؛ شکری کوچک و بهنیا، ۱۳۹۲؛ سبحانی و گلدوسن، ۱۳۹۴؛ ترابی پوده و دهقانی، ۱۳۹۸؛ حجازی زاده و همکاران، ۱۴۰۰) صورت گرفته است. فریدپور و همکاران (۱۳۹۸) بر اساس پایداری درازمدت بارش و دما در حوضه دره رود اردبیل به محاسبه خشکسالی در طی دوره آماری (۲۰۱۴ – ۱۹۸۵) پرداخته‌اند و از شاخص خشکسالی SPI و RDI بهره گرفته‌اند. نتایج پژوهش نشان داد این دو شاخص شبیه به هم عمل کرده و شدیدترین خشکسالی مشاهده شده مربوط به ایستگاه اردبیل در سال آبی ۲۰۱۰ – ۲۰۱۱ در بازه سه ماهه است. صفریان زنگیر و همکاران (۱۳۹۹) شاخص‌های خشکسالی SPI و CZI در استان اردبیل را در دوره آماری (۱۹۹۶ – ۲۰۱۶) مورد بررسی قرار دادند و نتیجه گرفتند که خشکسالی‌های خیلی شدید در مقیاس ۱۲ ماهه کمتر از مقیاس ۶ ماهه رخداده است. جوان (۱۴۰۰) تأثیر تغییر اقلیم بر خشکسالی هواشناسی ایستگاه ارومیه در دوره پایه (۱۹۸۶ – ۲۰۰۵) و آینده (۲۰۷۰ – ۲۰۳۱) را با مدل گزارش پنجم CanESM2 و شاخص SPI بررسی کردند. نتایج نشان داد مقادیر SPI در دوره طولانی مدت شدت خشکسالی بیشتری را نشان می‌دهد.

با توجه به اهمیت پدیده خشکسالی و احتمالی بودن آن، در سال‌های اخیر روش‌های مدل‌سازی، توسط پژوهشگران در ایران و سایر نقاط جهان مورد استفاده قرار گرفته است. آنچه ضرورت دارد استفاده از روش‌هایی است که با بررسی داده‌ها

و حقیقت آن‌ها، وضعیت خشکسالی را با اطمینان و دقت بیشتری مدل‌سازی و پیش‌بینی نمایند. تحلیل مدل‌های سری زمانی در منابع زیادی جهت پیش‌بینی کوتاه‌مدت به کار گرفته شده است: دوردو (۲۰۱۰) مدل‌های ارتورگرسیو – میانگین متوجه تلفیق شده با مدل SARIMA را با مدل‌سازی سری زمانی شاخص SPI در حوضه رودخانه بویوک مندرس ترکیه استفاده کردند. لوگان و همکاران (۲۰۱۰) تغییرات بارندگی حوضه رودخانه کانزاس را از سال ۱۹۰۰ تا ۲۰۰۶ در ارتباط با خشکسالی مورد مطالعه قراردادند. نتایج نشانگر افزایش روند مرطوب بوده و تنها در غرب و شرق منطقه روند خشکی رو به افزایش است. افریقا و همکاران (۲۰۱۶) به مدل‌سازی و پیش‌بینی بارش ماهانه دوره آماری (۱۹۷۵ – ۲۰۰۹) در منطقه غنا پرداختند و مدل (۰۰،۰۰،۱۱،۱) SARIMA را به عنوان مدلی مناسب جهت پیش‌بینی بارش ماهانه انتخاب کردند. ناراسیما و همکاران (۲۰۱۷) به مدل‌سازی و پیش‌بینی بارش در شمال شرق هندوستان با استفاده از مدل سری زمانی SARIMA پرداخته‌اند و مدل (۱۰،۰۱،۱۰،۱) SARIMA به عنوان مناسب‌ترین مدل جهت پیش‌بینی انتخاب شد. سین فو و سین لی (۲۰۱۹) بر اساس شاخص خشکسالی SPI و مدل ARIMA به پیش‌بینی بارش در جنوب تایوان در دوره آماری (۲۰۱۷ – ۲۰۰۷) پرداخته‌اند. نتایج نشان‌دهنده کارآمدی مدل ARIMA جهت پیش‌بینی می‌باشد. کریمی و همکاران (۲۰۱۹) در حوضه رودخانه کرخه به پیش‌بینی خشکسالی با استفاده از مدل سری زمانی ARIMA پرداخته‌اند. نتایج کار آن‌ها نشان داد همبستگی خوبی بین داده‌های مشاهداتی با پیش‌بینی وجود دارد. جهاندیده و شیروانی (۱۳۹۰) به پیش‌بینی خشکسالی با استفاده از شاخص SPI و مدل‌های سری زمانی در دوره آماری ژانویه ۲۰۰۴ تا دسامبر ۲۰۰۵ در استان فارس پرداخته‌اند. نتایج پژوهش نشان داد مدل (۱۰،۰۱،۰۲)* ARIMA مدلی مناسب جهت پیش‌بینی دوازده ماهه است. پژوهش حاضر سعی دارد که روند تغییرات بارندگی و اثرات آن بر خشکسالی هواشناسی در جنوب حوضه آبریز ارس را با استفاده از شاخص SPI و مدل‌های سری زمانی بررسی کند.

محدوده مورد مطالعه

حوضه آبریز رود ارس بین مختصات جغرافیایی ۴۴ درجه و ۰۳ دقیقه تا ۴۸ و ۴۱ دقیقه طول شرقی و ۳۷ درجه و ۴۷ دقیقه تا ۳۹ درجه و ۴۶ دقیقه عرض شمالی قرار دارد. بلندترین و پست‌ترین نقطه آن به ترتیب قله سبلان با ۴۸۱۱ متر و محل خروجی رودخانه ارس واقع در مرز ایران و جمهوری آذربایجان با ارتفاع ۲۰ متر است. این حوضه در خاک ایران حدود ۳۹۴۷۸ کیلومترمربع وسعت دارد است که حدود ۸۱/۵ درصد آن در مناطق کوهستانی و کوهپایه‌ای قرار دارد و مابقی را جلگه‌ها شامل می‌شوند (مرکز مطالعات برنامه‌ریزی و اقتصاد کشاورزی، ۱۳۷۲). شکل (۱) جایگاه جغرافیایی حوضه و پراکنش ایستگاه‌ها را نشان می‌دهد.



شکل ۱ جایگاه جغرافیایی منطقه مورد مطالعه در کشور

مواد و روش

در این پژوهش از داده بارندگی مربوط به ایستگاه‌های هواشناسی اردبیل، اهر، پارس‌آباد، خوی، جلفا و ماکو در دوره آماری (۲۰۲۱-۱۹۸۷) استفاده شده است. داده سالانه بارندگی در محیط نرم‌افزار SPSS از نظر نرمال بودن با آزمون کلموگروف-اسمیرنوف و از نظر تصادفی بودن با آزمون ران تست بررسی شد و مشخص شد مطابق با آزمون کلموگروف - اسмیرنوف، فرض صفر مبتنی بر نرمال بودن داده‌ها (رابطه ۱) تأیید می‌گردد (جدول ۱). نتایج آزمون ران - تست نیز نشان داد تمامی سری‌های مورد استفاده در این پژوهش همگن می‌باشد (جدول ۲).

$$H_0: \text{توزيع داده‌ها نرمال است} \quad \text{رابطه (1)}$$

$$H_1: \text{توزيع داده‌ها نرمال نیست}$$

جدول ۱- مقادیر آزمون کلموگروف - اسمیرنوف بارندگی در محدوده موردمطالعه

ایستگاه	اردبیل	اهر	خوی	جلفا	ماکو
۰/۷۵۷	۰/۹۵۶	۰/۹۹۴	۰/۴۵	۰/۹۹۴	۰/۸۵۴

جدول ۲- مقادیر آزمون ران - تست بارندگی در محدوده موردمطالعه

ایستگاه	اردبیل	اهر	خوی	جلفا	ماکو	P value
۰/۹۹۶	۰/۹۹۶	۰/۳۰۵	۰/۷۳۵	۰/۳۰۵	۰/۷۶۳	<۰/۰۵

جهت پایش خشکسالی با توجه به آمار بارندگی سالانه ایستگاه‌های در نظر گرفته شده در این پژوهش از شاخص استاندارد شده بارندگی (SPI) که تنها نمای ثابت بر پایه بارندگی است استفاده شد. این شاخص به محقق این امکان را می‌دهد تا فراوانی وقوع خشکسالی و ترسالی را برای هر گام زمانی مورد نظر مشخص نماید. همچنین این شاخص بی‌بعد بوده که به وسیله آن می‌توان خشکسالی‌ها و ترسالی‌های شدید در یک منطقه را شناسایی کرد و با برآش تابع چگالی احتمال، تحلیل فراوانی بر روی آن‌ها به کاربرد. در این پژوهش از نرم‌افزار DIC¹ جهت محاسبه شاخص SPI استفاده شده است. برای محاسبه این شاخص از رابطه (۲) استفاده می‌شود.

$$SPI = \frac{(P_{\circ} + \sum(p_{-i}) - \mu_n)}{\sigma_k} \quad \text{رابطه (۲)}$$

که در آن P_{\circ} مقدار بارش نرمال شده ماه فعلی، p_{-i} مقدار بارش نرمال شده ماه قبلی، μ_n میانگین تعداد بارش تجمعی n ماه و σ_k انحراف معیار بارش در دوره زمانی مورد نظر است (تیموری یگانه و همکاران، ۱۴۰۰). در جدول (۱) طبقات خشکسالی SPI قابل مشاهده است.

جدول ۳ – مقیاس طبقه‌بندی مقادیر SPI

طبقه	مقادیر SPI
شدیداً مرطوب	۲ و بیشتر
خیلی مرطوب	۱/۵ تا ۱/۹۹
مرطوب متوسط	۱ تا ۱/۴۹
نزدیک به نرمال	۰/۹۹ تا -۰/۹۹
خشکسالی ملایم	-۱ تا -۱/۴۹
خشکسالی شدید	-۱ تا -۱/۴۹
خشکسالی خیلی شدید	-۱/۵ تا -۱/۹۹

مدل‌های سری زمانی

تحلیل سری‌های زمانی به عنوان بخشی از روش‌های آماری و احتمالاتی برای پیش‌بینی و کنترل داده‌ها به کاربرده می‌شوند. از ویژگی‌های سری‌های زمانی وجود توالی‌های منظم، روندهای گوناگون و افت و خیرهای تصادفی می‌باشد (حلمنی و همکاران، ۱۳۹۹). از میان مدل‌های گوناگونی که در سری‌های زمانی وجود دارد، مدل خودهمبستگی (AR)، مدل میانگین

متاخرک (MA)^۱ مدل میانگین متاخرک خود همبسته (ARIMA)^۲ و مدل میانگین متاخرک تجمعی خود همبسته به دلیل کاربرد بیشتر استفاده گردید.

معیار ارزیابی مدل‌ها

برای مقایسه مدل‌ها با مرتبه‌های مختلف از معیار اطلاعاتی آکائیکی استفاده گردید که بر مبنای باقیمانده‌های مدل برآشن داده شده و روش‌های قیاس مدل‌های مختلف می‌باشد. این روش بر این اصل استوار است که در بین مدل‌های مناسب، مدلی با توجه به معیارهای موردنظر، بهترین مدل است که دارای کمترین مقدار AIC باشد. با استفاده از رابطه (۳) سنجش می‌شود (بزرگ نیا و خرمی، ۱۳۸۶).

$$AIC = n \log(MS) + 2(p + q) \quad \text{رابطه (۳)}$$

N در این معادله، تعداد داده‌ها، MS مجموع مربعات باقیمانده‌ها، P ارتورگرسیو و q میانگین متاخرک است.

تعیین روند با آزمون تخمین‌گر شیب سن این آزمون توسط Sen (۱۹۶۸) به‌منظور گزینش بزرگی روند در سری زمانی ارائه شده است. بنیان این آزمون محاسبه یک شیب میانه برای سری و داوری نمودن در مورد حقیقی بودن این شیب در سطوح معنی‌داری گوناگون است. این آزمون در تحلیل سری زمانی که در آن‌ها فراوانی داده‌های تکراری زیاد است کارکرد بهتری دارد (حجم و همکاران، ۱۳۸۷).

مرحله اول سنجش شیب بین هر جفت داده سری زمانی با رابطه (۴) می‌باشد:

$$O = \frac{X_j - X_i}{For 1.....N'} \quad \text{رابطه (۴)}$$

که در اینجا N' برابر با تعداد جفت داده‌ها بوده است.
مرحله دوم گزینش فاصله اطمینان جهت آزمودن درستی شیب روند به دست آمده است و این آزمون از نوع دو جانبه بوده و پس از انتخاب a پارامتر C_a با کمک رابطه (۵) محاسبه می‌شود:

$$C = Z * \sqrt{Var(s)} \quad \text{رابطه (۵)}$$

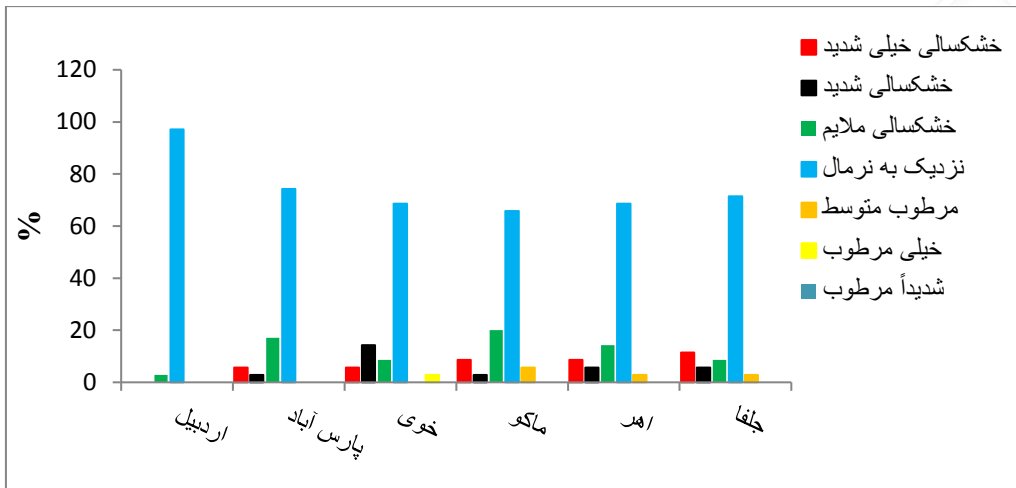
¹ - Moving Average

² - Auto Regressive Moving Average

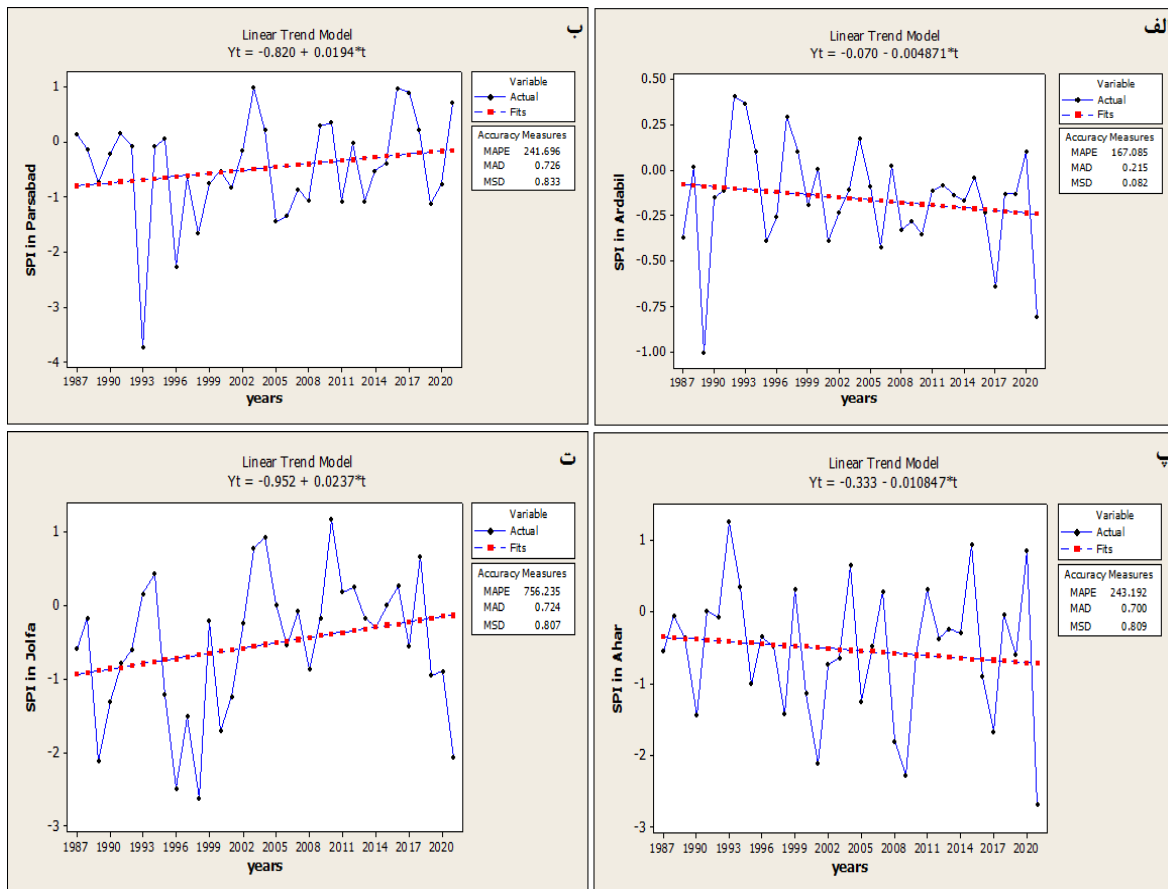
که در آن $\text{Var}(s)$ واریانس محاسبه شده در آزمون من - کن达尔 بوده و آماره Z نیز از جدول توزیع نرمال استاندارد به دست می‌آید. سپس تعیین می‌شود. از بین سری شباهای محاسبه شده در مرحله اول، M_1 امین و $(M_2 + 1)^{\frac{2}{2}}$ به عنوان حدود بالا و پایین فاصله اطمینان مشخص می‌شود (گیلبرت، ۱۹۸۷).

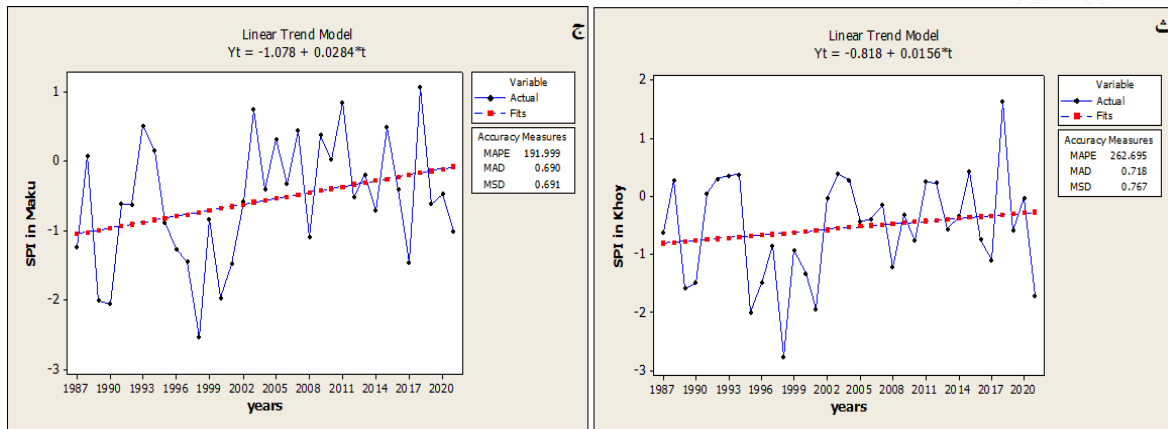
یافته‌های پژوهش

مقیاس‌های زمانی مختلف می‌تواند روند ترسالی و خشکسالی را در هر دوره نشان دهد. در این پژوهش از آمار بارش ۶ ایستگاه واقع در حوضه آبریز ارس استفاده شد و وضعیت خشکسالی و ترسالی در این ایستگاه‌ها در یک دوره ۱۲ ماهه (سالانه) بررسی شد. شکل (۲) درصد فراوانی وقوع شدت ترسالی و خشکسالی ایستگاه‌ها را در طول دوره موردمطالعه برحسب شاخص SPI نشان می‌دهد. بر اساس شکل (۳-الف)، می‌توان نتیجه گرفت که در ایستگاه اردبیل وضعیت خشکسالی در هرسال در نوسان بوده و این روند در بازه ۳۵ ساله با توجه به طبقه‌بندی شاخص SPI در شرایط نزدیک به نرمال قرار دارد. همان‌طور که شکل (۲) نیز نشان می‌دهد وضعیت نزدیک به نرمال ۹۷ درصد از فراوانی وقوع را به خود اختصاص می‌دهد. شرایط خشکسالی ملایم با ۳ درصد رخداد در مرتبه بعد قرار دارد. در ایستگاه پارس‌آباد شرایط وضعیت خشکسالی در نوسان بوده و ۷۴ درصد از فراوانی وقوع مربوط به وضعیت نرمال، ۱۷ درصد مربوط به خشکسالی ملایم و ۶ و ۳ درصد نیز به ترتیب مربوط به خشکسالی خیلی شدید و خشکسالی شدید است و روند تغییرات شاخص استاندارد بارندگی در طول ۳۵ سال (شکل ۳-ب) شرایط نزدیک به نرمال را برای این ایستگاه نشان می‌دهد. در ایستگاه‌های اهر و جلفا به ترتیب ۶۸ و ۷۱ درصد از فراوانی وقوع مربوط به شرایط طبقه‌بندی نزدیک به نرمال، ۱۴ و ۸ درصد مربوط به شرایط خشکسالی ملایم، ۶ درصد خشکسالی شدید، ۸ و ۱۱ درصد مربوط به خشکسالی خیلی شدید و ۳ درصد مربوط به شرایط مرتبط متوسط است و روند تغییرات شاخص استاندارد بارندگی در شکل (۳-پ و ت) نشان‌دهنده وضعیت نزدیک به نرمال برحسب طبقه‌بندی شاخص SPI برای هر دو ایستگاه است. در ایستگاه خوی و ماکو نیز به ترتیب ۶۸ و ۶۶ درصد فراوانی مربوط به وضعیت نرمال، ۱۴ و ۳ درصد مربوط به خشکسالی شدید، ۸ و ۲۰ درصد خشکسالی ملایم و ۶ و ۸ درصد خشکسالی خیلی شدید بوده و در ایستگاه خوی ۳ درصد در وضعیت خیلی مرتبط و در ایستگاه ماکو ۸ درصد از فراوانی وقوع مربوط به وضعیت مرتبط متوسط بوده است. از روند تغییرات برحسب شاخص استاندارد بارندگی می‌توان نتیجه گرفت که مطابق با طبقه‌بندی شاخص SPI در بازه موردمطالعه این دو ایستگاه در وضعیت نزدیک به نرمال قرار دارند (شکل ۳-ث و ج) لازم به ذکر است در طول دوره موردمطالعه هیچ‌کدام از ایستگاه‌ها شرایط خیلی مرتبطی را تجربه نکرده‌اند.

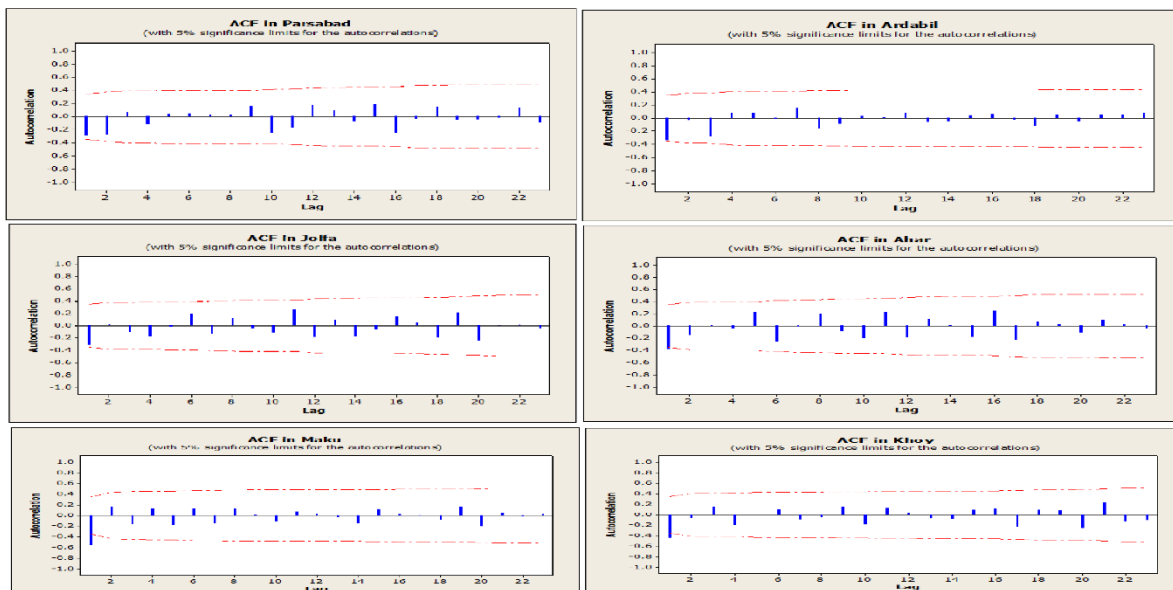


شکل ۲ - درصد فراوانی وقوع شدت ترسالی و خشکسالی ایستگاه‌ها بر حسب شاخص SPI





شکل ۳ - روند تغییرات شاخص استاندارد بارندگی (SPI) ایستگاه‌های الف- اردبیل، ب- پارس آباد، پ- اهر، ت- جلفا، ث- خوی و ج- ماکو واقع در حوضه رود ارس



شکل ۴ - نمودار خودهمبستگی بعد از تفاضل گیری ایستگاه‌های واقع در حوضه رود ارس

برای تشخیص مدل مناسب، تفاضل گیری فصلی مرتبه یک ($D=1$) برای حذف حالت فصلی و ایستا کردن میانگین سری زمانی اعمال شد. سپستابع خودهمبستگی برای سری تبدیل یافته ترسیم گردید که نشان می‌دهد نمودار خودهمبستگی پس از تفاضل گیری از حالت سینوسی خارج شده و فقط میل به تناوب دارد (شکل ۴).

مدلسازی سری زمانی

مدلسازی سری زمانی بارش طی دوره موردمطالعه برای هر ایستگاه انجام شد. بهترین مدل بر اساس معیار ارزیابی مدل‌ها مطابق جدول (۴) انتخاب گردید و مشخص شد که مدل (۱،۰،۰) ARIMA برای ایستگاه اردبیل، خوی و اهر و مدل (۲،۰،۰) AR برای ایستگاه‌های پارس‌آباد، ماکو و جلفا با توجه به مقدار قدر مطلق آماره T بیشتر از مقدار

کمتر از ۰/۰۵ و دارای کمترین مقدار AIC هستند که معنی‌داری را نشان می‌دهند و به عنوان مدل‌های دارای بهترین نتیجه انتخاب شدند.

جدول ۴- برآش مدل‌های تصادفی برای سری داده‌های بارش سالانه ایستگاه‌ها و انتخاب مدل بهینه

مدل	اردبیل	پارس آباد	خوی	ماکو	اهر	جلفا
(۱۱۱) ARIMA	۰/۲۳۰	۰/۲۷۸	۰/۰۴۴	۰/۱۱۰	۰/۶۹۱	۰/۳۰۰
	-۰/۹۹	۱/۱۰	۲/۱۰	۱/۶۵	-۰/۴۰	۱/۰۵
	۱۲۹/۱۴	۱۳۳/۳۹	۱۳۰/۹۷	۱۳۷/۵۳	۱۳۰/۱۳	۱۲۷/۲۸
	aic معيار					
(۱۱۱) ARIMA	۰/۰۰۰	۰/۰۰۰	۰/۰۰۰	۰/۰۰۰	۰/۰۰۰	۰/۰۰۰
	۲۳/۱۹	۲۱/۲۰	۲۰/۰۶	۱۴/۶۶	۱۰۷/۶۵	۱۱/۳۲
	۱۲۸/۹۳	۱۳۱/۵۱	۱۳۱/۹۹	۱۳۷/۴۴	۱۲۷/۳۰	۱۲۸/۱۲
	aic معيار					
(۱۱۱) ARIMA	۰/۸۸۳	۰/۹۲۳	۰/۸۵۷	۰/۹۸۲	۰/۸۵۴	۰/۷۹۶
	-۰/۱۵	۰/۰۸	-۰/۰۲	-۰/۱۹	-۰/۲۶	-۰/۲۶
	۱۳۳/۵۸	۱۳۸/۸۹	۱۳۷/۲۴	۱۳۹/۲۵	۱۳۵/۴۵	۱۳۰/۳۶
	aic معيار					
(۳۱۱) ARIMA	۰/۶۹۲	۰/۵۶۲	۰/۸۰۱	۰/۰۷۰	۰/۵۶۶	۰/۸۲۳
	۰/۰۲۹	-۰/۰۵۹	-۰/۰۲۵	-۰/۶۰	-۰/۲۱	-۰/۲۱
	۱۳۸/۱۵	۱۳۸/۱۰	۱۳۸/۵۱	۱۴۰/۲۴	۱۳۵/۳۲	۱۳۴/۶۴
	aic معيار					
(۱۱۲) ARIMA	۰/۸۹۲	۰/۱۳۳	۰/۰۰۰	۰/۲۱۴	۰/۳۷۸	۰/۵۰۸
	-۰/۱۴	۱/۵۴	-۳۱۰/۲	۱/۲۷	-۰/۹۰	-۰/۶۷
	۱۲۹/۶۳	۱۳۲/۶۰	۱۳۱/۰۲	۱۳۹/۱۳	۱۳۰/۷۶	۱۳۰/۴۴
	aic معيار					
(۱۱۲) ARIMA	۰/۰۰۰	۰/۵۲۸	۰/۳۷۲	۰/۱۰۸	۰/۰۲۰	۰/۳۹۵
	-۴/۸۲	۰/۶۴	-۰/۹۱	-۱/۶۶	-۲/۴۶	-۰/۸۶
	۱۳۴/۰۶	۱۴۱/۴۱	۱۳۷/۵۹	۱۳۹/۷۹	۱۳۷/۲۸	۱۳۰/۸۰
	aic معيار					
(۰۰۱) ARIMA	۰/۰۰۰	۰/۰۰۰	۰/۰۰۰	۰/۰۰۰	۰/۰۰۰	۰/۰۰۰
	۲۳/۶۶	۱۹/۹	۲۱/۴۳	۲۰/۰۶	۱۲/۱۷	۱۵/۲۵
	۱۲۷/۴۶	۱۳۱/۰۵	۱۲۰/۵۳	۱۳۷/۴۸	۱۲۷/۳۷	۱۲۷/۳۴
	aic معيار					
(۱۰۰) AR	۰/۰۰۰	۰/۰۰۰	۰/۰۰۰	۰/۰۰۰	۰/۰۰۰	۱۱/۷۹
	۲۳/۳۸	۲۰/۲۰	۲۱/۱۵	۸۱/۱۸	۲۹/۹۰	۱۱/۷۹
	۱۲۷/۴۸	۱۳۱/۷۸	۱۲۰/۵۳	۱۳۷/۳۶	۱۲۷/۴۰	۱۲۶/۶۶
	aic معيار					
(۳۰۰) AR	۰/۰۰۰	۰/۰۰۰	۰/۰۰۰	۰/۰۰۰	۰/۰۰۰	۰/۰۰۰
	۳۶/۰۴	۲۲/۴۳	۱۹/۷۸	۱۰/۳۷	۳۷/۴۳	۱۳/۵۸
	۱۲۸/۴۵	۱۳۴/۰۰	۱۲۳/۴۷	۱۲۸/۳۳	۱۲۹/۸۱	۱۲۹/۱۰
	aic معيار					
(۰۰۴) AR	۰/۰۰۰	۰/۰۰۰	۰/۰۰۰	۰/۰۰۰	۰/۰۰۰	۱۴/۳۵
	۲۸/۷۶	۲۵/۴۵	۲۴/۹۲	۱۴/۷۲	۳۷/۲۶	۱۳۰/۵۳
	۱۲۹/۱۸	۱۳۵/۳۶	۱۳۴/۱۳	۱۳۹/۸۲	۱۳۱/۳۰	۱۳۰/۵۳
	aic معيار					
(۰۰۴) AR	۰/۰۰۰	۰/۰۰۰	۰/۰۰۰	۰/۰۰۰	۰/۰۰۰	۰/۰۰۰
	۷۲۴					

AR	T	24/82	24/79	20/56	14/50	34/85	11/15
aic	معیار	128/86	132/54	131/99	137/94	128/44	128/12
P- value	(۰،۱،۱)	۰/۳۰۰	۰/۲۲۷	۰/۰۷۴	۰/۱۱۴	۰/۷۰۴	۰/۸۹
T	IMA	-۱/۰۵	۱/۲۳	۱/۵۸	۱/۶۲	-۰/۳۸	-۰/۱۳
aic	معیار	127/73	132/03	129/42	137/13	128/73	129/74
P- value	(۳،۱،۰)	۰/۹۷۷	۰/۹۵۴	۰/۹۴۲	۰/۸۳۴	۰/۹۲۰	۰/۸۶۵
T	ARMA	-۰/۰۳	۰/۰۶	-۰/۰۷	۰/۲۱	-۰/۱۰	-۰/۱۷
aic	معیار	131/16	138/44	137/57	141/۶	134/۶۳	132/77
P- value	(۲،۱،۰)	۰/۹۴۰	۰/۹۵۸	۰/۸۸۲	۰/۹۹۶	۰/۸۵۱	۰/۸۰۵
T	ARMA	-۰/۰۸	۰/۰۵	-۰/۱۵	۰/۰۰	-۰/۱۹	-۰/۲۵
aic	معیار	134/69	130/31	136/16	140/42	134/78	131/75

در بررسی مناسب بودن مدل‌ها از آزمون پرت - مانتو نیز استفاده شد که در جدول (۵) پارامتر مربوط به این آزمون آورده شده است. با توجه به پارامترهای مربوطه مقدار P-value در تأخیرهای ۱۲ و ۲۴ ماهه بیشتر از ۰/۰۵ می‌باشد. بنابراین نتایج نشان‌دهنده خودهمبستگی باقیمانده‌ها است.

جدول ۵- نتایج آزمون پرت - مانتو در مدل‌های مناسب بر روی داده‌های سالانه ایستگاه‌های مورد مطالعه

P-Value		آمار مرتب کای				
گام تأخیر ۲۴ ماهه	گام تأخیر ۱۲ ماهه	گام تأخیر ۲۴ ماهه	گام تأخیر ۱۲ ماهه	ایستگاه	مدل	
۰/۸۷	۰/۷۸	۱۴/۸	۷/۴	اردبیل	(۰,۰,۱)	ARIMA
۰/۸۵	۰/۹۶	۱۵/۱	۳/۵	خوی	(۰,۰,۱)	ARIMA
۰/۷۵	۰/۵۷	۷/۱	۸/۶	اهر	(۰,۰,۱)	ARIMA
۰/۵۸	۰/۴۷	۹/۶	۲۰	پارس آباد	(۱,۰,۰)	AR
۰/۹۲	۰/۸۸	۱۳/۱	۵/۱	ماکو	(۱,۰,۰)	AR
۰/۶۴	۰/۸۰	۱۸/۹	۶/۱	جلفا	(۱,۰,۰)	AR

پیش‌بینی با مدل‌های منتخب آریما

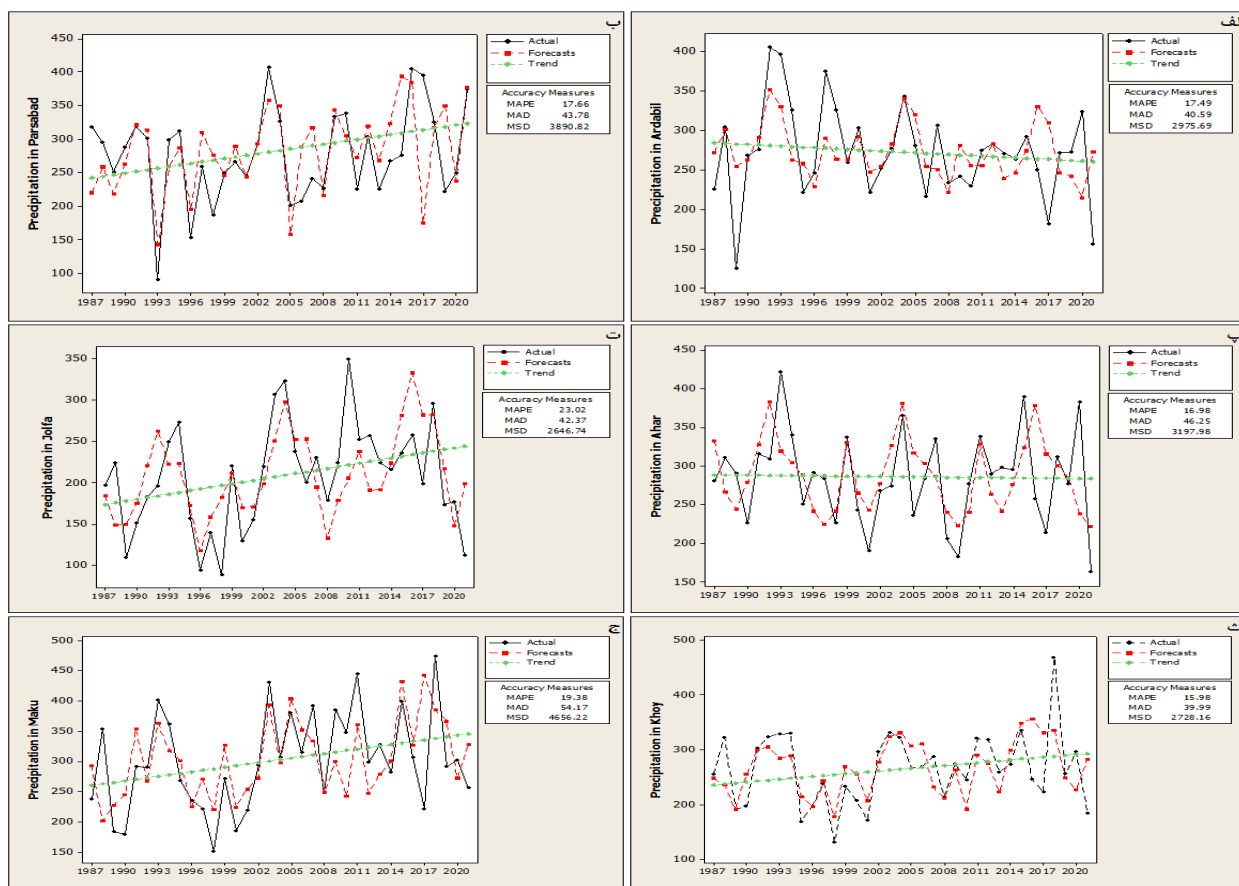
یکی از اهداف ساخت الگو برای یک سری زمانی این است که بتوان مقادیر سری را برای زمان‌های آینده نیز پیش‌بینی نمود. پس از مشخص نمودن مدل سری زمانی مناسب برای داده‌های مورد ارزیابی، می‌توان از آن برای پیش‌بینی رفتار آینده سری استفاده کرد. در این پژوهش با داشتن داده‌های بارش ۳۵ ساله ایستگاه‌های موردنپژوهش، مقادیر ۵ سال بعد از آن مورد پیش‌بینی قرار گرفت. جدول (۶) مقادیر بارش پیش‌بینی شده و شاخص SPI متناظر با آن را برای سال‌های ۲۰۲۲ تا ۲۰۲۶ نشان می‌دهد. بر اساس این جدول نتیجه می‌شود که در ایستگاه‌های ماکو، جلفا و پارس آباد در سال ۲۰۲۳ شرایط

مرطوب متوسط پیش‌بینی می‌شود و خشکسالی ملایم نیز مربوط به سال ۲۰۲۴ در ایستگاه اردبیل است و در بقیه این ۵ سال مورد بررسی ایستگاه‌ها در یک وضعیت نزدیک به نرمال قرار می‌گیرند.

جدول ۶- پیش‌بینی روند خشکسالی بر اساس شاخص ۱۲- SPI در ایستگاه‌های موردمطالعه با مدل‌های منتخب ARIMA

ایستگاه	سال	بارش سالانه (mm)	شاخص ۱۲ ماهه SPI	طبقه
اردبیل	۲۰۲۲	۲۵۵/۳۰	-۰/۱۸۷۹	نzdیک به نرمال
	۲۰۲۳	۲۷۰/۸۴	-۰/۴۵۸۳	نzdیک به نرمال
	۲۰۲۴	۲۲۰/۸۹	-۱/۴۴۵۹	خشکی ملایم
	۲۰۲۵	۲۱۰/۲۵	-۰/۸۴۰۰	نzdیک به نرمال
	۲۰۲۶	۲۷۹/۴۵	-۰/۵۳۹۹	نzdیک به نرمال
پارس‌آباد	۲۰۲۲	۳۰۳/۳۲	-۰/۱۹۲۱	نzdیک به نرمال
	۲۰۲۳	۳۱۰/۸۲	۱/۴۰۴۰	مرطوب متوسط
	۲۰۲۴	۲۷۰/۵۵	-۰/۲۰۹۸	نzdیک به نرمال
	۲۰۲۵	۲۶۸/۳۲	-۰/۱۷۴۵	نzdیک به نرمال
	۲۰۲۶	۲۸۲/۲۵	-۰/۰۱۲۱	نzdیک به نرمال
اهر	۲۰۲۲	۲۹۵/۹۱	-۰/۳۳۳۱	نzdیک به نرمال
	۲۰۲۳	۲۸۵/۰۴	-۰/۵۲۲۳	نzdیک به نرمال
	۲۰۲۴	۲۷۶/۲۳	-۰/۶۷۹۳	نzdیک به نرمال
	۲۰۲۵	۲۶۵/۶۵	-۰/۷۶۹۹	نzdیک به نرمال
	۲۰۲۶	۲۶۰/۲۸	-۰/۸۱۴۵	نzdیک به نرمال
جلفا	۲۰۲۲	۱۸۰/۰۸	-۰/۲۰۵۹	نzdیک به نرمال
	۲۰۲۳	۲۸۷/۷۰	۱/۴۲۳۷	مرطوب متوسط
	۲۰۲۴	۱۹۷/۴۱	-۰/۳۷۸۸	نzdیک به نرمال
	۲۰۲۵	۲۰۱/۰۹	-۰/۶۱۰۴	نzdیک به نرمال
	۲۰۲۶	۲۰۳/۳۸	۰/۲۰۵۹	نzdیک به نرمال
خوی	۲۰۲۲	۲۵۶/۰۷	-۰/۷۱۲۷	نzdیک به نرمال
	۲۰۲۳	۲۶۵/۲۰	-۰/۴۵۳۴	نzdیک به نرمال
	۲۰۲۴	۲۷۰/۴۹	-۰/۴۰۶۸	نzdیک به نرمال
	۲۰۲۵	۲۷۶/۳۷	-۰/۳۷۸۹	نzdیک به نرمال
	۲۰۲۶	۲۸۰/۷۸	-۰/۳۳۲۸۹	نzdیک به نرمال
ماکو	۲۰۲۲	۲۹۴/۳۵	-۰/۲۶۷۷	نzdیک به نرمال
	۲۰۲۳	۳۲۱/۱۱	۱/۵۹۴۲	مرطوب متوسط
	۲۰۲۴	۳۰۰/۹۸	-۰/۲۱۸۷	نzdیک به نرمال
	۲۰۲۵	۳۰۱/۱۱	-۰/۳۷۵۴	نzdیک به نرمال
	۲۰۲۶	۲۹۶/۱۲	-۰/۴۷۴۷	نzdیک به نرمال

با توجه به شکل (۵)، که مقایسه مقادیر واقعی و شبیه‌سازی شده را نشان می‌دهند. مدل‌های ARIMA برای برآورد بارش‌های متوسط و کم مناسب هستند اما قابلیت بالایی در برآورد بارش‌های بیشینه ندارند. همان‌طور که در شکل نیز دیده می‌شود در زمانی که افزایش بارش مشاهده می‌شود اختلاف زیادی بین مقادیر بارش مشاهداتی با مقادیر شبیه‌سازی شده دیده می‌شود.

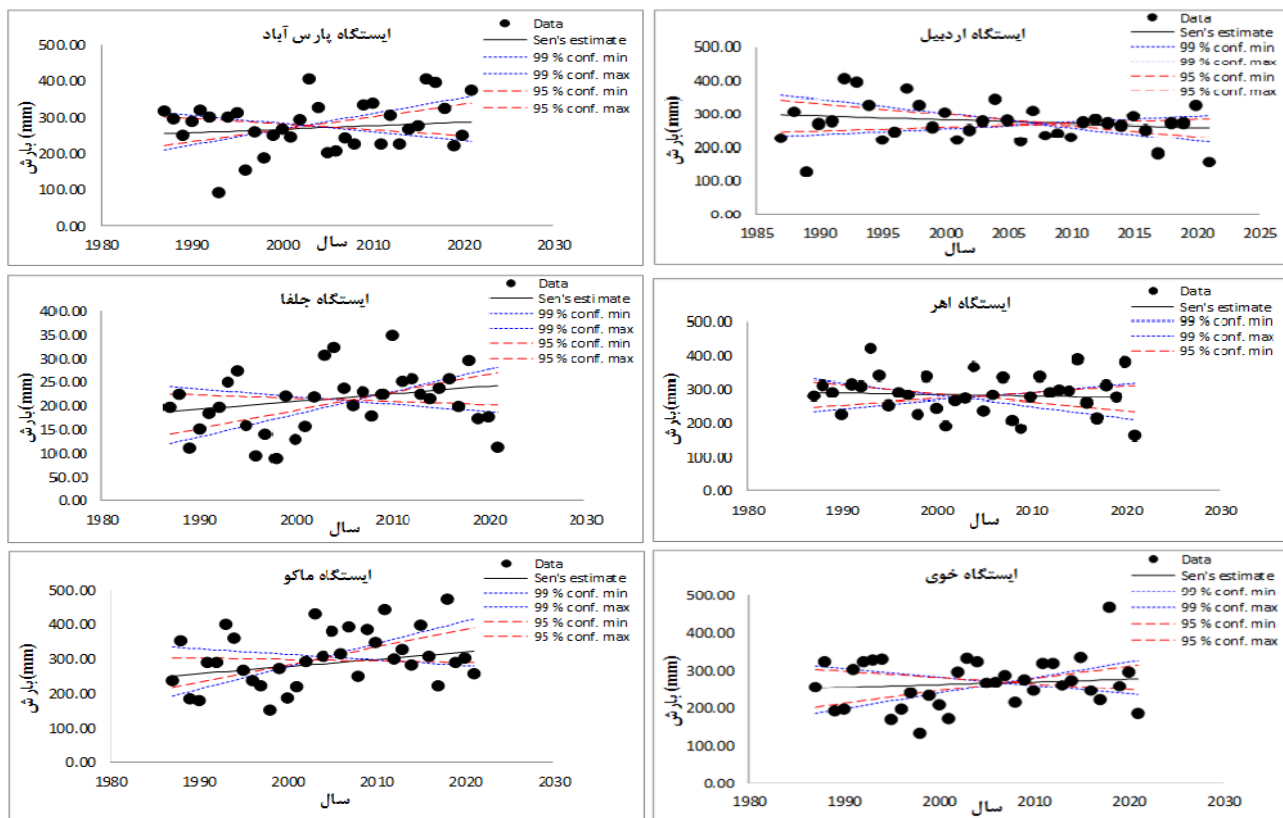


شکل ۵ - مقایسه مقادیر بارش پیش‌بینی و مشاهداتی در ایستگاه‌های الف - اردبیل، ب - پارس‌آباد، پ - اهر، ت - جلفا، ث - خوی و ج - ماکو

نتایج حاصل از تحلیل روند بارندگی برای ایستگاه‌های حوضه آبریز ارس در جدول (۷) قابل مشاهده است. ملاحظه می‌شود که در مقیاس سالانه از ۶ ایستگاه فقط ایستگاه ماکو دارای روند افزایشی و در سطح ۹۵ درصد معنی‌دار بوده و در مابقی ایستگاه‌ها روند معنی‌داری مشاهده نشده است. (در جدول نماد * نشان‌دهنده معنی‌داری در سطح ۹۵ درصد است). از شکل (۶) هم می‌توان نتیجه گرفت که ایستگاه‌های پارس‌آباد، خوی و جلفا عدم وجود روند معنی‌داری با شبیه صعودی رو به افزایش و ایستگاه‌های اردبیل و اهر عدم وجود روند با شبیه نزولی رو به کاهش را نشان می‌دهند و تنها ایستگاه ماکو دارای روند معنی‌دار افزایشی است.

جدول ۷- نتایج مقادیر آزمون شبیه سن برای ایستگاه‌های حوضه آبریز ارس در دوره آماری (۱۹۸۷-۲۰۲۱)

جلفا	اهر	ماکو	خوی	پارس‌آباد	اردبیل	ایستگاه
۱/۳۶	-۰/۴۳	۱/۶۸	۰/۶۵	۰/۶۸	-۰/۹۷	Z
۱/۶۳۳	-۰/۴۷۷	۲/۰۹۷*	۰/۷۷۴	۰/۹۷۷	-۱/۰۶۰	شبیه سن



شکل ۶- برازش نمودار شبیه سن بر بارندگی ایستگاه‌های واقع در حوضه آبریز ارس

نتیجه‌گیری

در پژوهش حاضر با استفاده از داده‌های بارش ایستگاه‌های همدید واقع در حوضه آبریز ارس (اردبیل، پارس‌آباد، اهر، جلفا، خوی و ماکو) در یک دوره آماری ۳۵ ساله، به بررسی وضعیت خشکسالی پرداخته شد و با استفاده از شاخص استاندارد SPI وضعیت خشکسالی و تراسالی و روند تغییرات آن برای هر ایستگاه مشخص شد و نتایج نشان داد هر ۶ ایستگاه در یک وضعیت نزدیک به نرمال قرار دارند و بیشترین شدت خشکسالی مربوط به ایستگاه خوی با ۱۴ درصد وضعیت خشکسالی شدید و ایستگاه جلفا با ۱۱ درصد خشکسالی خیلی شدید می‌باشد. بازیزدی و همکاران (۱۳۹۵) بیشترین شدت خشکسالی در مطالعه خود برای حوضه آبریز سلماس را ایستگاه اوربان به دست آورده‌اند.

در بررسی مدل‌های مختلف سری زمانی و به کارگیری معیار اطلاعاتی آکائیکی و مقدار P-value، مدل AR(۱)، AR(۰،۰،۱) برای ایستگاه‌های اردبیل، خوی و اهر و مدل (۰،۰،۱) برای ایستگاه‌های پارس‌آباد، ماکو و

جلفا به عنوان بهترین مدل جهت پیش‌بینی بارش ۶ ایستگاه انتخاب شدند که این بیانگر قابلیت بالای مدل میانگین متحرک تجمعی خود همبسته و مدل خودهمبستگی در مدل‌سازی است. سلطانی گرد فرامرزی و همکاران (۱۳۹۶) مدل (۱۱،۰) ARIMA را جهت پیش‌بینی بارندگی سالانه در ایستگاه‌های منتخب استان آذربایجان غربی به دست آوردند. نتایج مدل‌های سری زمانی در پیش‌بینی بارش نشان‌دهنده عملکرد خوب و قابل اطمینان مدل بوده و امکان استفاده از این مدل برای پیش‌بینی‌های آتی را میسر می‌سازد. (حلمی و همکاران، ۱۳۹۹) در پیش‌بینی خشکسالی هواشناسی قسمت‌های مختلف ایران مدل SARIMA فصلی را جهت پیش‌بینی مناسب برآورد کرده‌اند.

بررسی روند تغییرات بارش در ۶ ایستگاه با روش ناپارامتریک شیب سن نشان‌دهنده روند افزایشی بارش در ایستگاه ماکو با معنی‌داری در سطح ۹۵ درصد بوده و در مابقی ایستگاه‌ها بارش روند بدون معنی‌داری را نشان می‌دهد. نتایج پژوهش مزیدی و طوفانی (۱۴۰۰) در بررسی روند تغییرات بارش ایستگاه ارومیه عدم وجود روند با شیب صعودی را به دست آورده‌اند. دستورانی و یزادن پناه قرایی (۱۳۹۹) در بررسی روند بارندگی سالانه حوضه آبریز ارس با آزمون شیب سن در دو ایستگاه روند افزایشی و در باقی ایستگاه‌ها به شرایط بدون روند دست یافته‌اند.

منابع

بايزيدى، مطلب؛ سى و سه مردە، معروف و عصرآگاه، آزىتا (۱۳۹۵). پيش‌بینى و بررسى روند خشکسالى هواشناسى با استفاده از سرى زمانى (مطالعه موردى: حوزه آبریز سلماس). مجله محیط‌زیست و مهندسی آب، جلد ۲، شماره ۴، ص ۳۴۶ - ۳۵۹.

بزرگ نيا، ابوالقاسم و خرمى، مصطفى (۱۳۸۶). تجزيه و تحليل سرى‌های زمانى با نرم‌افزار MINITAB 14. انتشارات سخن‌گستر مشهد، ص ۳۵۱.

ترابي پوده، حسن و دهقانى، رضا (۱۳۹۸). پيش‌بینى خشکسالى هواشناسى با استفاده از شاخص SPI (مطالعه موردى: استان لرستان). نشریه هواشناسى کشاورزى، جلد ۷، شماره ۲، ص ۲۶ - ۳۴.

تيمورى يگانه، مريم و تيمورى يگانه، ليلا (۱۴۰۰). ارزیابی روند تغییرات بارندگی و دما و اثرات آن‌ها بر خشکسالى هواشناسى در استان کرمانشاه، نشریه پژوهش و فناوری محیط‌زیست. سال ۶، شماره ۱۰، ص ۱۲۳ - ۱۳۴.

حجازى زاده، زهر؛ پژوهه، فرشاد و شکيبة، هانيه (۱۴۰۰). واکاوی دقت شاخص‌های خشکسالى و تعیین بهترین شاخص اقلیمی در جنوب شرق ایران. فصلنامه علمی - پژوهشی و بین‌المللی انجمن جغرافیایی ایران، سال ۱۹، شماره ۶۸، ص ۲۱ - ۵. حجام، سهراب؛ خوشخو، یونس و وندی رضا، شمس‌الدین (۱۳۸۷). تحلیل روند تغییرات بارندگی‌های فصلی و سالانه چند ایستگاه منتخب در حوضه مرکزی ایران با استفاده از روش‌های ناپارامتری. نشریه پژوهش‌های جغرافیایی، دوره ۴۰، شماره ۶، ص ۱۵۷ - ۱۶۸.

حلمی، مهتاب؛ بختیاری، بهرام و قادری، کوروش (۱۳۹۹). مدل‌سازی و پيش‌بینى خشکسالى هواشناسى با استفاده از مدل سرى زمانى SARIMA در نمونه‌های اقلیمی مختلف ایران. نشریه آبیاری و زهکشی ایران، جلد ۱۴، شماره ۳، ص ۱۰۷۹ - ۱۰۹۰.

- جوان، خدیجه (۱۴۰۰). بررسی خشکسالی هواشناسی در ایستگاه ارومیه با استفاده از شاخص SPI تحت ستاریوهای تغییر اقلیم (RCP). نشریه پژوهش‌های تغییرات آب و هوايی، سال ۲، شماره ۵، ص ۹۴ - ۸۱.
- جهانديده، مرضيه و شيروانی، امين (۱۳۹۰). پيش‌بياني خشکسالی بر پایه نمایه بارش استانداردشده با استفاده از مدل‌های سری‌های زمانی در استان فارس. مجله پژوهش آب ايران، سال ۵، شماره ۹، ص ۱۹ - ۲۸.
- دستوراني، مهدى و يزدان پناه قرياني، فرزانه (۱۳۹۹). بررسی روند بارندگی و دبی در حوضه آبريز ارس. نشریه سامانه‌های سطوح آبگیر ايران، دوره ۸، جلد ۲۴، ص ۲۵ - ۳۴.
- سبحانی، بهروز و گلدوست، اکبر (۱۳۹۴). پايش خشکسالی و ارزیابی امکان پيش‌بياني آن در استان اردبیل با استفاده از شاخص SPI و مدل ANFIS. فصلنامه تحقیقات جغرافیایی، سال ۳۰، شماره ۱، ص ۱۳۵ - ۱۵۲.
- سلطانی گرد فرامرزی، سمية؛ صابری، عارفه و قیصوري، مرتضی (۱۳۹۶). تعیین بهترین مدل سری زمانی در پيش‌بياني بارندگی سالانه ایستگاه‌های منتخب استان آذربایجان غربی. نشریه تحقیقات کاربردی علوم جغرافیایی، سال ۱۴، شماره ۴۴، ص ۸۷ - ۱۰۵.
- شکری کوچک، سعید و بهنیا، عبدالکریم (۱۳۹۲). پايش و پيش‌بياني خشکسالی خوزستان با استفاده از شاخص خشکسالی SPI و زنجيره مارکوف. مجله علوم و مهندسي آبیاري، جلد ۳۶، شماره ۳، ص ۱۴ - ۱.
- شمس نيا، سيد امير؛ پيرمراديyan، نادر و اميري، سيد ناصر (۱۳۸۸). مدل‌سازی خشکسالی در استان فارس با استفاده از تحليل سری‌های زمانی. نشریه جغرافیا و برنامه‌ریزی (دانشگاه تبریز)، سال ۱۴، شماره ۲۸، ص ۱۶۵ - ۱۸۹.
- صفريان زنگير، وحيد؛ صلاحی، برومند؛ ملکي مرشد، رقيه و كيانيان، محمدكيا (۱۳۹۹). تحليل شاخص‌های خشکسالی و بارش استاندارد شده در مراکز شهرهای استان اردبیل. دو فصلنامه علمی پژوهش‌های بوم‌شناسی شهری، سال ۱۱، شماره ۱، ص ۱۲۱ - ۱۳۶.
- فریدپور، مجتبی؛ زينالي، بتول؛ اصغری، صياد؛ قرياني، اردوان و رضايی بنفسه، مجید (۱۳۹۸). ارزیابی خشکسالی بر اساس پايداري طولاني مدت روند بارش و دما در حوضه دره رود اردبیل. نشریه پژوهش‌های حفاظت آب و خاک، جلد ۲۶، شماره ۶، ص ۳۱ - ۵۷.
- مزیدی، احمد و طوفانی، هاجر (۱۴۰۰). بررسی روند تغییرات دما و بارش ایستگاه همدید ارومیه به روش آماری من کندا. مجله جغرافیا و روابط انسانی، دوره ۴، شماره ۲، ص ۳۷۰ - ۳۵۷.
- مرکز مطالعات برنامه‌ریزی و اقتصاد کشاورزی، ۱۳۷۲.
- Afrifa, E., Bashiru, I.I., Azumah, K. (2016). SARIMA modeling and forecasting of monthly rainfall in the Brong Ahafo region of Ghana. World Environment, 6.1, p 1-9.
- Durdur O.F. 2010. Application of linear stochastic models for drought forecasting in the Buyuk Menderes river basin, western Turkey, Stoch. Environ. Res. Risk Assess., DOI10.1007/s00477-010-0366-3.
- Gilbert, R.O. (1987). Statistical methods for environmental pollution monitoring. John Wiley & Sons.

- Hayes, Michael. Svoboda, Mark. Wall.Nicole, Widhalm, M. (2011). The Lincoln declaration on drought indices: universal meteorological drought index recommended. *Bulletin of the American Meteorological Society*, 92(4), p 485-488.
- HsinFu Y, HsinLi H. 2019. Stochastic Model for Drought Forecasting in the Southern Taiwan Basin. Department of Resources of Engineering. National Cheng Kung University, 11.10, p 2041.
- Karimi, M., Melesse, A.M., Khosravi, KH., Mamuye, M., Zhang, J. (2019). Analysis and prediction of eteorological drought using SPI index and ARIMA model in the Karkheh River Basin, Iran. *Extreme Hydrology and Climate Variability: Monitoring, Modelling, Adaptation and Mitigation*, p 343-354.
- Lin, H., Wang, J., Li, F., Xie, Y., Jian, Ch., Sun, L. (2020). Drought Trends and the Extreme Drought Frequency and Characteristics under Climate Change Based on SPI and HI in the Upper and Middle Reaches of the Huai River Basin. *China. Water*, 12(4), 1100.
- Logan, KE., Brunsell, NA., Jones, AR., Feddema, JJ. (2010). Assessing spatiotemporal variability of drought in the U, S, central plains. *Journal of Arid Environments*, 74, p 247-255.
- McKee, TB., Doesken Kleist, NJ. (1993). The Relationship of Drought Frequency and Duration to Time Scales. *Preprints 8th Conference on Applied Climatology*, 17-22 January, Anaheim, CA, p 170-184.
- Meresa, H., Osuch, M., Romanowicz, R. (2016). Hydro- meteorological drought projections into the 21-st century for selected Polish catchments. *Water*, 8(5), p 206.
- Narasimha, KV., Saravana, R., Vijaya, K. (2017). Modeling and forecasting rainfall patterns of southwest monsoons in North-East India as a SARIMA process. *Meteorologycal Atmosphere Physical*.
- Philip, G.O., Babatunde, J.A., Gunnar, L. (2017). Impacts of climate change on hydro-meteorological drought over the Volta Basin, West Africa. *Global and Planetary Change*, Volume 155, p 121-132.
- Sen, PK. (1968). Estimates of the regression coefficient based on Kendall's tau. *Journal of the American Statistical Association*, 63(324), p 1379-1389.
- Sharma BR, Smakhtin VU. 2004. Potential of water harvesting as a strategic tool for drought mitigation international Water Management Institue.
- Mishra, AK., Singh, VP. (2010). A review of drought concepts. *Journal of Hydrology*, 391.1-2, p 202-216.
- Wang, J., Lin, H., Huang, J., Jiang, Ch., Xie, Y., Zhou, M. (2019). Variations of Drought Tendency, Frequency, and Characteristics and Their Responses to Climate Change under CMIP5 RCP Scenarios in Huai River Basin, China. *Water*, 11(10), p 2174.